

(75)

Práce: Ukažte určením ráčku metody numericky:

Uvažujeme CUV  $u'(t) = -u(t)$ ,  $u(0) = 1$ .

Požadujeme  $u(1) = ?$  Je možné ráček

přesné řešení  $u^*(t) = e^{-t}$ .

Odhad velikosti kroku pro metodu ráčku je

$1 \cdot h^p < \varepsilon$ , f. napří. pro Eulervu  
metodu (1. ráček) pro  $\varepsilon = 10^{-2}$  dostaneme  
 $h_{\max} = 10^{-2}$ .

Výsledky Eulervy metody

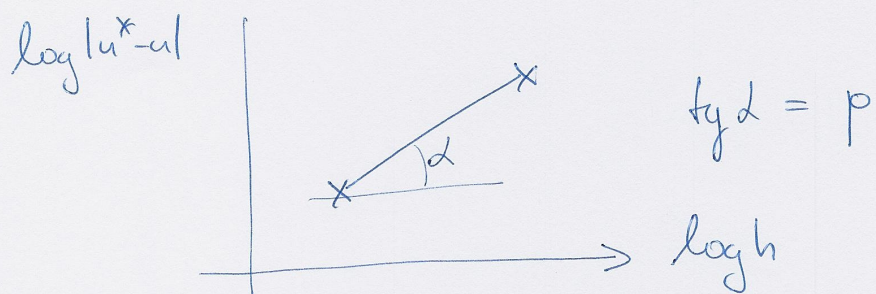
$h$	$N$	$u^N$	$ u^N - u^*(1) $	$ u_h^N - u_{0,0001}^{10000} $
0,01	100	0,36603234	$1,8 \cdot 10^{-3}$	$1,8 \cdot 10^{-3}$
0,001	1000	0,36769542	$1,8 \cdot 10^{-4}$	$1,8 \cdot 10^{-4}$
0,0001	10 000	0,36786104	$1,8 \cdot 10^{-5}$	—

(76)

Vidíme, že směr kroku h o 1 rád cykoda' zmení chybę o 1 rád  $\Rightarrow$  metoda 1. rádu.  
Lze zároveň i upevňovat

$$|u^* - u| = h^p$$

$$\log |u^* - u| = p \cdot \log h$$



Metoda polovinčkového kroku

Uvažujeme CÚ  $u'(t) = f(t, u)$ ,  $u(t_0) = u_0$  a  
její přesné řešení  $u^*(t)$ . Nechť  $u(t, h)$

je numerické řešení CÚ metodou p-tého rádu  
v čase t s krokem h. Je-li řešení CÚ  
dostatečně blízke', lze globální chybę vyjádřit  
ve formě Taylorsova rozvoje, tj.

(77)

$$e(t, h) = u(t, h) - u^*(t) = a_0(t) h^p + a_1(t) h^{p+1} + \dots$$

Uvažujme dva méně kladný v případě t záša-  
ne's když  $\frac{h}{2}$  a  $h$ , pak lze psát

$$\begin{cases} u(t, h) - u^*(t) = a_0(t) h^p + O(h^r), & r \geq p+1 \\ u(t, \frac{h}{2}) - u^*(t) = a_0(t) \left(\frac{h}{2}\right)^p + O\left(\left(\frac{h}{2}\right)^r\right) \end{cases}$$

$$u(t, \frac{h}{2}) - u(t, h) = a_0(t) \left[ h^p - \left(\frac{h}{2}\right)^p \right] + O(h^r) \quad (*)$$

a druhé rovnice vyjádříme  $a_0(t)$  jako

$$a_0(t) = \left(\frac{2}{h}\right)^p \underbrace{\left[ u(t, \frac{h}{2}) - u^*(t) \right]}_{= e(t, \frac{h}{2})} + O\left(\left(\frac{h}{2}\right)^q\right) \quad q \geq 1$$

a dosadíme do  $(*)$

$$u(t, \frac{h}{2}) - u(t, h) = e(t, \frac{h}{2}) (2^{p-1}) + O(h^r)$$

a konečně

$$e(t, \frac{h}{2}) = \frac{u(t, \frac{h}{2}) - u(t, h)}{2^{p-1}} + O(h^r)$$

(78)

Príklad: Uvažujeme CIV  $u'(t) = -u(t)$ ,  $u(0) = 1$ .

Chceme vyplodit  $u(1) = ?$

Eulerova metoda (1. rád)

$$u^{n+1} = u^n + f(t_n, u^n), \text{ kde } f = -u$$

Huenova metoda (2. rád)

$$u^{n+1} = u^n + h f\left(t_n + \frac{h}{2}, u^n + \frac{h}{2} f(t_n, u^n)\right)$$

$h$	$N$	$u^N$ (Eulerova m.)	$u^N$ (Huenova m.)
0,002	500	0,3675112548	0,367879686792
0,001	1000	0,3676954247	0,367879502530

Odhad globální chyby pomocí metody polovicného kroku

Eulerova m.

$$e(1; 0,001) = \frac{0,3676954247 - 0,3675112548}{2^{1-1}} =$$

$$= 1,8417 \cdot 10^{-4}$$

(priemere  $u - u^* = 1,8 \cdot 10^{-4}$ )

(79)

Hermova metoda

$$e(1; 0,001) = \frac{0,367879502530 - 0,367879686792}{2^2 - 1} =$$

$$= -6,1 \cdot 10^{-8}$$

$$(u^*(1) = e^{-1} \rightarrow u^{1000} - u^*(1) = -6 \cdot 10^{-8})$$

Adaptívna volba kroku jednotkové  
metody

Uvažíme metodu  $u^{n+1} = u^n + h \Phi_n$ ,

p. řádu a maximální globální chybu  $\xi$

v čase  $t = T$ . Víme, že

$$\xi \approx \frac{T}{h} \cdot O(h^{p+1}) = O(h^p) \rightarrow$$

→ odsud odhadneme velikost kroku  
a nastavíme  $\checkmark$  chybu jednotkového  $E_{\max}$  jako  
konst.  $\cdot h^{p+1}$

(80)

Předpokládejme, že  $u_h^n = u^*(t_n)$  a určime chybou  $u_h^{n+1} - u^*(t_n + h)$  pomocí metody polynomického kroku, tj.

$$|u_h^{n+1} - u^*(t_n + h)| = \left| \frac{u_{h/2}^{n+1} - u_h^{n+1}}{2^p - 1} \right| = \varepsilon^{n+1}$$

je-li  $\varepsilon^{n+1} > \varepsilon_{\max} \rightarrow$  zmenšit krok  $h$

$\varepsilon^{n+1} = \varepsilon_{\max} \rightarrow$  Ok

$\varepsilon^{n+1} < \varepsilon_{\max} \rightarrow$  Ok nebo zvětšit krok  $h$

Poznámka k řešení lineární rovnice,

vžitkem při použití implicitní metody

V každém kroku implicitní metody

je třeba řešit rovnici ve tvaru

$$u^{n+1} = \varphi(u^{n+1})$$

(81)

a) prostá iteracní metoda

$$u_{(k+1)}^{n+1} = \varphi(u_{(k)}^{n+1}), \quad k=0,1,2,\dots$$

$$u_{(0)}^{n+1} = u^n$$

je třeba najít vhodné kritérium pro zastavení iteracního procesu, např.

$$|u_{(k+1)}^{n+1} - u_{(k)}^{n+1}| < \text{chyba}_{\max}$$

Pokus Teoreticky platí  $\lim_{n \rightarrow \infty} u_{(k)}^{n+1} = u^{n+1}$

je-li zobrazení  $u_{(k+1)}^{n+1} = \varphi(u_{(k)}^{n+1})$  kontrukční!

(Zobrazení  $u = \varphi(u)$  je kontrukční, jestliže pro lib.  $u, v$  platí  $|\varphi(u) - \varphi(v)| < |u - v|$ , to je splněno např. je-li

$\varphi(u)$  dosud zde uvedená funkce a platí-li  $|\varphi'(u)| < 1$  ).

(82)

b) Newtonova metoda (rychlejší než prostá iteracní metoda)

Uvažujme nelineární rovnici ve tvaru

$$\Psi(u^{n+1}) = 0,$$

pak Newtonova metoda je

$$u_{(k+1)}^{n+1} = u_{(k)}^{n+1} - \frac{\Psi(u_{(k)}^{n+1})}{\Psi'(u_{(k)}^{n+1})}, \quad k=0, 1, \dots$$

$$u_{(0)}^{n+1} = u^n$$

Pozn. Hodiť  $u_{(0)}^{n+1}$  je možné napočítat explicitní metodou - přesněji než zadat  $u^n$ .  $\rightarrow$  metody typu prediktör-korektor

(83)

## Metody typu prediktor-korektor

Již bylo uvedeno, že implicitní metody mají tendenci k nerozpustnému explicitnímu typu.

Např.

$$u_{(0)}^{n+1} = \sum_{j=0}^p \tilde{a}_j u^{n-j} + h \sum_{j=0}^p \tilde{b}_j f_{n-j} \quad (P)$$

$$f_{n+1}^{(0)} = f(t_{n+1}, u_{(0)}^{n+1}) \quad (E)$$

$$u_{(1)}^{n+1} = \sum_{j=0}^p a_j u_{(0)}^{n-j} + h \sum_{j=0}^p b_j f_{n-j} + h b_{-1} f_{n+1}^{(0)} \quad (C)$$

Ude (P) již tzv. prediktor, (E) výpočet pravé strany a (C) korektor (zde zapsaný ve formě prosté iteracní metody).

Když (E) a (C) je možné mnohokrát opakovat, pak hovoríme o tzv. P(EC)<sup>m</sup> metodě.

(84)

Příklad: Přesnost metody prediktov -  
- korektov

Je-li přesnost ( $P$ ) ráčnu  $\tilde{q}$  a přesnost  
(C) ráčnu  $q$ , pak platí, že je

a)  $\tilde{q} > q$

b)  $\tilde{q} < q$  a  $m = q - \tilde{q}$

ma' metoda P(EC)<sup>m</sup> přesnost i klasické  
člen chyby approximace stejný jako metoda  
(C), tj. má' přesnost ráčnu  $q$ .

(85)

## Stiff úlohy (úlohy s velkým tlumením)

Motivace: Uvažujeme modelovou soustavu

ODR 1. rádu  $\dot{U} = AU + B(t)$ , kde

$$U = \begin{pmatrix} u_1(t) \\ u_2(t) \\ \vdots \\ u_m(t) \end{pmatrix} \text{ a } A \text{ je reálná matice } m \times m.$$

Nechť  $A$  má  $m$  nějžích vlastních čísel, pro které platí

$$\operatorname{Re} \lambda_1 \leq \operatorname{Re} \lambda_2 \leq \dots \leq \operatorname{Re} \lambda_m < 0.$$

Obecné řešení má pak tvar

$$U = \sum_{i=1}^m c_i e^{\lambda_i t} + U_p \quad (1)$$

Pro  $t \rightarrow \infty$  je  $U \rightarrow U_p$ . Řešení (1)

je tzv. přechodové řešení (rapid or short transient) a  $U_p$  je ustálene řešení.

Jelikož poměr  $\frac{\max |\lambda_i|}{\min |\lambda_i|}$  (tzv. stiffness ratio) velký, obsahuje řešení velký

(86)

rotsak časových měřítek. Uvažujme

napr.  $m=2$ ,  $\lambda_1 = -10^6$  a  $\lambda_2 = -1$ .

Chceme vypočítat  $U_p$ , tj. vypočítat numerické řešení pro funkci  $t$ , aby

$$\underline{e^{-t} < \varepsilon \text{ a } e^{-10^6 t} < \varepsilon} \quad (\varepsilon \text{ např. } 10^{-4})$$

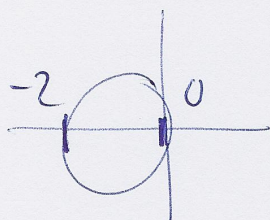
$$e^{-t} = 10^{-4}$$

$$e^t = 10^4$$

$$t = 4 \ln 10 = 9,2 \rightarrow \text{uvažujme pořadina oblasti} \\ t=10$$

Použijeme-li explicitní metodu s oblastí

stabilit



$$\Leftrightarrow -2 \leq -10^6 h \leq 0$$

$$-2 \cdot 10^{-6} \geq h \geq 0$$

$\Rightarrow$  krok např.  $10^{-6}$  a výpočet do  $t=10$

$\Rightarrow$   $10^7$  kroků metody

(87)

Zvýšení rádu metody nepomůže, potřebujeme metodu s "velkou" oblastí stability  $\rightarrow$   
 $\rightarrow$  nejlepší A-stabilní metoda.

(při jisté menší  $h$  než  $10^{-6}$  bychom mohli mít problém i se zákonitě vznikajícími chybami).

Příklad úlohy s velkým členem  $\lambda$   
 (viz LeVeque sln WF)

$$u' = u(t) = \lambda(u_{\text{ost}} - u) - \sin t, \quad u(t_0) = \gamma$$

analytické řešení  $u$  je:

$$u^*(t) = e^{\lambda(t-t_0)} (\gamma - \cos(t_0)) + u_{\text{ost}}$$

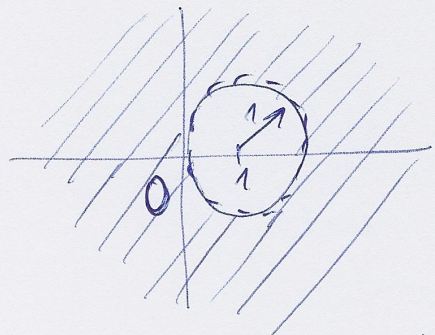
Uvažujeme případ s  $\lambda = -10^6$ . Použijeme dvě A-stabilní metody:

a) implicitní Eulera

$$u^{n+1} = u^n + h \cdot f(t_{n+1}, u^{n+1})$$

(88)

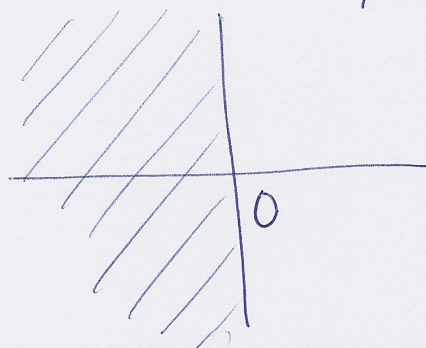
s oblast' stability



2) Crank-Nicholsonova metoda

$$u^{n+1} = u^n + \frac{h}{2} (f(t_n, u^n) + f(t_{n+1}, u^{n+1}))$$

s oblast' stability

Uvažíme-li podílečnou podmínku  $u(0) = 1$ (f<sub>r</sub>  $u^* = \text{const}$ ), řešení neobsahuje

homogenní část a obě metody souhlasí

s  $u^*$ . Ale při poč. podmínce  $u(0) = 1,5$ 

(Crank-Nicholsonova metoda osciliuje)

(89)

(viz LeVeque, str. 112, obr. 10.4)

Vysvětlení: dosudníme-li do výpočtu

metod  $f = \lambda \cdot u$ , pak

implikativní Euleraova metoda je  $u^{n+1} = \frac{1}{1+h\lambda} u^n$

a Crank-Nicholsonova metoda  $u^{n+1} = \frac{2+h\lambda}{2-h\lambda} u^n$

Příkazná  $h\lambda = -10^5$  je

$u^{n+1} = -10^{-5} u^n$  pro impl. E. metodu

a  $u^{n+1} = -u^n$  pro C-N metodu

$\Rightarrow$  impl. Euleraova metoda dobré fluktuace

a C-N metoda osciluje (neva' fluktuace)

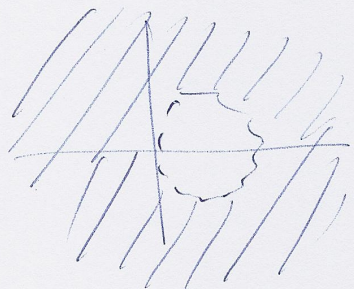
Je vidět, že vlastnost A-stability

nestojí pro nespeciální řešení shift užly.

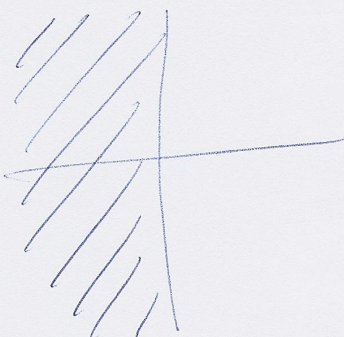
(90)

Zavídej' se pojemu L-stabilní metody,

to je metoda, jíž má oblast absolutní stability obsahující bod  $\infty$ .



Oh



vnu! L-stabilní

Uvažujme všechny metody. Má-li  
bod  $\infty$  ležet v oblasti abs. stability,  
musí mít char. char. poly normu

$$\Pi(\xi, z) = \varphi(\xi) - z\sigma(\xi) = 0$$

$|\xi_i| < 1$  pro  $|z| \rightarrow \infty$ .

Můžeme psát

$$\frac{1}{z} \Pi(\xi, z) = \frac{\varphi(\xi)}{z} - \sigma(\xi) = 0$$

(91)

Kde pro  $|z| \rightarrow \infty$  je  $\frac{1}{z} g(z) \rightarrow 0$

a tedy u' rovnice  $\sigma(z) = 0$ .

Def: Lineární výpočetnou metodu (LVM)

je L-stabilní, když všechny kořeny

rovnice  $\sigma(z) = 0$  jsou

u'činnostkového kruhu, tj.  $|z_i| < 1$ .

Pozn: U předchozího příkladu má Eulerova

simp. metoda kořen  $\sigma(z) = 0$  a

C-N metoda kořen  $z = 1$ .

### BDF metody

Jsem to metody ve tvaru

$$a_0 u^n + a_1 u^{n+1} + \dots + a_r u^{n+r} = h \beta f_{n+r}$$

↳

$f(z) \sigma(z) = \beta z^r \Rightarrow$  kořeny jsou množné

(92)

$\Rightarrow$  BDF metody jsou L-stabilní!

(BDF metody jsou stabilní pouze pro  $r \leq 6$ ,  
viz Dahlquistova stabilita).